

改定 IP-OLDF による SVM のアルゴリズム研究

新村 秀一

1970 年代から、数理計画法 (MP) による判別モデル (またはクラスター分析) の研究が数多く行われてきた。しかし、Stam が指摘するとおり、それらのモデルは統計分野で利用されていない。その一番大きな理由は、汎化能力 (統計でいう EC) の検討が弱い点である。SVM は、この閉塞感を打開するものとして期待されている。筆者は、統計的な立場から、SVM はペナルティの客観的な決定法と汎化能力の実証の 2 点を統計ユーザーに明らかにすべきであると考えている。本稿は、そのうちのペナルティに関して、筆者の研究テーマである改定 IP-OLDF と比較して問題点を提起したい。

キーワード：判別分析、誤分類最小化基準、マージン最大化基準、数理計画法、SVM

1. はじめに

幸運の女神は、ある日突然現れる。1976 年ごろ、最小誤分類数 (Minimum Misclassification Number, MMN) を判別基準とするヒューリスティックな最適線形判別関数 (Optimal Linear Discriminant Function, OLDF) を提案した[3]。しかし、多くの統計家にとって過剰推定 (オーバーエスティメイト) が考えられ受け入れがたいものであった。SVM でいう汎化能力が悪いと考えられた。しかし、判別する 2 群が Fisher の線形判別関数 (LDF) の理論的的前提を満たせば、得られた誤分類数は MMN と等しくなる。そこで、何かおもしろい成果が得られることを期待し研究を続け壁に突き当たった。

1998 年にこの問題が、計算時間がかかるということで MP の研究者が嫌っている整数計画法 (IP) で定式化できることに気づき、IP-OLDF と命名し研究を再開した[6]。とにかく、計算の爆発というブラックホールに分け入り、大変であったが、これまでの判別分析の理論で説明できないことが分かり自己満足していた。

そして、Iris データとスイス銀行紙幣データという統計で著名なテストデータと、筆者が長年種々の研究に用いてきた医療データの 3 つの実データを用い、LDF, 2 次判別関数、ロジスティック分析、決定木分析等と比較し Internal Check (IC) で目覚ましい成果を得た。また、2 变数の正規乱数データで 115 組の

内部標本 (教師データの事) と外部標本 (評価データの事) を作成して、既存の判別手法と比較し IC と External Check (EC) で IP-OLDF が他の判別手法に比べて良い結果を得た ([10~14])。

統計モデルでは EC での評価 (汎化能力) が重要視される。しかし、最適凸体のどの内点を最終的な判別関数にすべきかが未検討であったため、大規模な外部標本を用いた EC をこれまで行ってこなかった。しかし、パターン認識のマージン概念を取り入れた改定 IP-OLDF を考えたことで、これが可能になった。

本研究では、これに加えて SVM のペナルティの意味を、改定 IP-OLDF と改定 LP-OLDF を用いて解明した。

2. 取り上げるモデル

2.1 IP-OLDF の定式化

クラス 1 を表す变数 y_i の値を 1 とし、クラス 2 を表す变数 y_i の値を -1 とすれば、IP-OLDF は(1)のように定式化される。すなわち、誤分類されるケースに対して、0/1 の整数变数の e_i を 1 にすることで判別境界を 0 から -99999 として制約条件を緩め、正しく判別されるケースに対して 0 とすることで判別境界を 0 に固定すればよい。そして、目的関数で誤分類数 ($\sum e_i$) を最小化する。

$$\begin{aligned} & \text{MIN } \sum e_i \\ & \text{ST} \\ & y_i * (\mathbf{x}_i' \mathbf{b} + 1) \geq -c * e_i \quad (1) \\ & \mathbf{x}_i = (x_{i1}, x_{i2}, \dots, x_{ip}) \\ & y_i = 1 \text{ for } x_i (i=1, \dots, s) \in \text{クラス 1}, \end{aligned}$$

しむら しゅういち

成蹊大学 経済学部

〒180-8633 武藏野市吉祥寺北町 3-3-1

$y_i = -1$ for $x_i (i=(s+1), \dots, (s+t)) \in$ クラス 2

b : p 次元判別係数ベクトル

e_i : 各 x_i に対応した 0/1 決定変数

c : 99999 の定数 (Big M 定数)

このモデルは p 次元の判別係数の空間で考えると, MMN の集合は (最適) 凸体になり, その頂点を求めるに対応している. 頂点に対応した判別関数は, データ空間で考えると判別超平面上に p 個 (データが一般位置[7]にある場合) あるいは $(p+1)$ 個以上 (データが一般位置にない場合) のケースがある. これらの判別スコアは 0 になる (判別超平面上にあるこれらのケースをどう扱うかは, 統計でもはっきりしていない). そこで, 次のステップで内点 (全てのケースは, どちらかの群に必ず判別されることが IP-OLDF で分った) に移る必要があるが, この点が IP-OLDF では未検討であった.

2.2 LP-OLDF の定式化

LP-OLDF は, 数多くの研究成果のある線形計画法 (LP) による判別モデルの一種であり, (1)の e_i を 0/1 の整数変数から非負の決定変数に変えただけである. LP-OLDF は, 誤分類されるケースの判別超平面からの距離の和を最小化している. 統計の立場からいえば, この基準が何に役立つか, あるいは汎化性が良いか否かの検討が LP 判別の研究に乏しい事である.

2.3 改定 IP-OLDF と改定 LP-OLDF の提案

改定 IP-OLDF は, パターン認識で古くから考えられているマージン概念を取り入れて次のように定式化する. これによって, 最適凸体の内点が 1 ステップで求まり, これを用いて EC が行える.

MIN $\sum e_i$

ST

$y_i * (\mathbf{x}_i' \mathbf{b} + b_0) >= 1 - c * e_i$ (2)

END

2.4 SVM の定式化

SVM は, 線形分離可能な場合, 2 つのサポートベクタでマージンをとって完全に分離できる. 線形分離できない場合, 幾つかのケースがサポートベクタの反対側にある事を認め, その距離 e_i の和を最小化することとマージンを最大化することを考えている. (3)の目的関数の 2 番目の項にある $\sum e_i$ はサポートベクタの反対側にあるケースの距離の和であり, c はペナルティを表す. e_i が正になるものを認める事によって, 全てのケースが見かけ上線形分離可能になる. また, 最初の項でマージン最大化を行っている. 本稿のテー

マは, 折角最適化手法を用いているのに, 意意的なペナルティの c を用いることは非についてである.

MIN $\|\mathbf{b}\|^2 / 2 + c \sum e_i$

ST

$y_i * (\mathbf{x}_i' \mathbf{b} + b_0) >= 1 - e_i$ (3)

END

3. MP による判別モデルの歴史

3.1 MP 判別モデルはなぜ利用されないので

1970 年代から, MP 判別モデルの研究が数多く行われてきた. しかし, Stam[5]が指摘するとおり, これらのモデルは統計分野で利用されていない. この理由として, 筆者は次の点を指摘したい.

従来の MP モデルの多くが, MP で初めて解決できるものが多い. これに対し, MP 判別モデルは, すでに統計で確立された判別分析を研究テーマにしているという認識がこの分野の研究者に希薄なことである [17]. 統計理論に対し何が優れているのか, 判別成績 (特に汎化能力) の検討, 計算速度や操作性が統計手法に比べ劣らない事,などを検討しなければいけない.これまで, SVM 研究と筆者の研究のみが汎化性をとりあげているが, 多くの MP 判別研究はこの検討を行っていないことが問題である.

3.2 判別理論に貢献しない LP-OLDF

MP 判別モデルの主流は, LP を用いたモデルが多い. Glover[4]は, LP モデルの総轄を行っているが, わずか数例の玩具のデータ (tiny data) による説明で, 汎化能力の検討まで至っていない. LP-OLDF は, この種のモデルの一種であり, 判別分析の理論に何も貢献していないことが分かっている.

3.3 SVM のこれまでの MP 判別モデルとの違い

この閉塞感を開拓するものとして, SVM が期待されている. SVM は, マージン最大化基準で汎化能力が優れている事を主張している. また, カーネルトリックという美しい理論で多くの研究者をひきつけている. もしこれらが事実であれば, これまでの「判別モデルは説明変数の少ないシンプルなモデルが汎化能力に優れている[1]」とする統計の知識を覆す新しい考え方を提起していることになる. 筆者は, 統計的な立場から, SVM はこれらの点を統計ユーザーに分かりやすく説明すべきであると考えている.

3.4 IP 判別モデル

IP は, 最近筆者の使用する What'sBest! (や LINDO API) でも 100 万整数変数のモデルが解ける

ようになるまで、多くの研究者が利用を避けてきた。

IP-OLDF と同じタイプの IP 判別モデルには、Liitschwager & Wang[2]がある。しかし、このモデルは判別超平面上に $(p+1)$ 個以上の数多くのケースを呼び寄せることが分かっている[16]。しかし、この分野の研究者はこのモデルの欠点を理解していないようだ。

IP-OLDF の特徴は、判別関数の定数項を 1 に固定している点である。これによって、統計アプローチと異なる新しい事実が発見された。例えば、MMN の集合が判別係数の空間で凸体になること（最適凸体と呼ぶ）。判別モデルに 1 個説明変数を追加したモデルの MMN は必ず元のモデルのそれより単調減少すること。判別関数の定数項の役割と判別係数の関係、などである[6][8][9]。

3.5 汎化能力の検討

一方問題点として、IP-OLDF は第 1 ステップで最適凸体の頂点を求める。しかし、次のステップでどの内点を選ぶか明確な指針がなかった。改定 IP-OLDF はマージン概念を取り入れる事で、最適凸体の内点が 1 ステップで求まる。これを用い、スイス銀行 1,000 フラン紙幣の真札と偽札データを教師データとして IC を、それと同じデータ構造を持つ 2 万件の乱数データを評価データとして EC を行うことで、以下の著しい成果を得た[18]。

変数選択法は教師データ（スイス銀行データ）で 5 变数モデルを選ぶ。しかし、乱数データを評価データとして、教師用データで得られた IP-OLDF の判別関数で判別すると、3 变数モデルの誤分類数が一番少なかった。すなわち、統計の代表的手法である逐次変数選択法に問題があることや改定 IP-OLDF の汎化能力も証明できた。

4. 改定 LP-OLDF と SVM の比較

本研究では、SVM のペナルティ C の意味を改定 LP-OLDF や IP-OLDF と比較することで解明する。表 1 のデータは、現在早稲田大学教授の高森寛氏が作成した「学生の生活実態調査データ」で、筆者の HP からダウンロードできる（Google に新村秀一と入力し検索可能）。あるいは著書[15]に統計ソフトの JMP と一緒に CD-ROM に格納されている。

「座標」は（勉強時間、支出）の値である。「合格」の数字は 60 点以上の学生番号、「不合格」はそれ未満の学生番号である。「SV」は以下で紹介する判別超平

表 1 データ

座標	合 格	不 合 格	S V	$e_i > 0$
1 . 6		3	—	④
1 . 8		3 5	④	
2 . 4	6		④	① ② ③ ④
2 . 5		1 8 , 3 8	① ② ③	④
2 . 6		1	—	④
3 . 2		8	①	① ② ③ ④
3 . 3	1 0 , 2 3	4 0	③	① ② ③ ④
3 . 5	3 4	3 3	④	① ② ③ ④
3 . 6		2 8	①	② ③ ④
3 . 7		1 7 , 2 9	③	④
3 . 1 0		9	④	—
4 . 4	2 6		—	① ② ③ ④
4 . 5	3 0		① ② ③	① ② ③ ④
4 . 6		1 3	④	① ② ③ ④
5 . 2	2 4	1 5	④	① ② ③ ④
5 . 3	3 9		③	④
5 . 4	7 . 3 7		①	④
5 . 5		1 4	—	① ② ③ ④
6 . 3	2 1 , 2 5 , 2 7		④	
6 . 5	5		① ② ③	④
7 . 3	2 , 1 1 , 1 2 , 1 6		—	
7 . 4	3 2		④	
x が	4 , 1 9 , 2 0		—	
8 以 上	2 2 , 3 1 , 3 6		—	
合 計	2 5	1 5		

表 2 改定 LP-OLDF と SVM の比較

C の 値	Margin	判 別 関 数		
		勉 強 時 間	支 出	定 数 項
① 0 . 3 以 上	2 . 8 2	0 . 5 0 0	- 0 . 5 0 0	0 . 5 0 0
② 0 . 2 4	2 . 8 8	0 . 5 0 0	- 0 . 4 8 0	0 . 4 0 0
③ 0 . 1	3 . 5 8	0 . 5 0 0	- 0 . 2 5 0	- 0 . 7 5 0
④ 0 . 0 1	7 . 0 7	0 . 2 0 0	- 0 . 2 0 0	0 . 4 0 0
⑤ 0 . 0 0 7 4	7 . 1	0 . 1 9 8	- 0 . 2 0 0	0 . 4 1 0
⑥ 0 固 定	7 . 1	0 . 1 9 8	- 0 . 2 0 0	0 . 4 1 0
改 定 LP-OLDF	2 . 8 2	0 . 5 0 0	- 0 . 5 0 0	0 . 5 0 0
改 定 IP-OLDF	0	2 . 0 0 0	- 3 3 3 3 2	1 6 6 6 5 3

面とサポートベクタに選ばれたことを示す。「 $e_i > 0$ 」はサポートベクタの反対側にある誤分類ケースを示す。

4.1 SVM 結果

表 2 と図 1 は分析結果である。図の+は合格者群、□は不合格者群、○は後で述べるサポートベクタの回転の中心になる点である。SVM の分析結果は、C の値を次の 6 つに分けて示した。

① C が 0.3 以上の場合 (表 2 の①の行)

C の値を 0.3 以上に設定すると、SVM による判別関数として $f(x) = 0.5 * \text{勉強時間} - 0.5 * \text{支出} + 0.5$ が得られた。マージンは 2.82 になる。図 1 の 3 本の

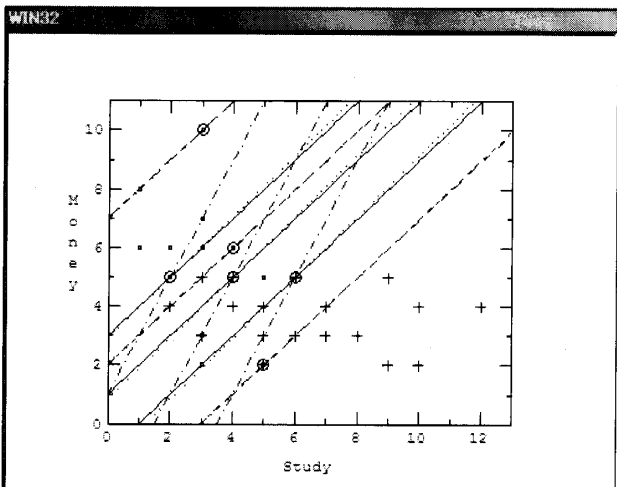


図1 ペナルティの違いによる判別超平面とサポートベクタ

実線の真ん中にある判別超平面がこれに対応し、支出 = 勉強時間 + 1 になる。表1のSVで①のついた点 (4,5) を含んでいる。

図1の下側の実線の $f(x)=1$ は合格群のサポートベクタであり、点 (6,5) と点 (5,4) を含む。合格群でこのサポートベクタの反対側にくるものは、表1の「 $e_i > 0$ 」で①のついた (2,4), (3,3), (3,5), (4,4), (4,5), (5,2) である。このうち判別超平面で不合格群と誤分類された学生は (2,4) と (3,5) である。

①の上側の実線の $f(x)=-1$ は不合格群のサポートベクタであり、点 (2,5) と (3,6) を含む。

② C が 0.24 の場合 (表2の②の行)

Cを0.24に設定すると、判別超平面は支出=1.042 * 勉強時間+0.833になる。マージンは2.88と①より大きくなる。図1の実線の少し重なって上にある点線が、判別超平面とサポートベクタを表す。

図1と表1から、合格群のサポートベクタは (6,5) であり、不合格群のサポートベクタは (2,5) である。

合格群の点 (5,4) と不合格群の点 (3,6) が①のサポートベクタから外れることで、判別超平面は点 (3,5)、合格群のサポートベクタは点 (6,5)、不合格群のサポートベクタは点 (2,5) の各1点で支えられている。これらは支出=5の値をもつ3つの○で表してある。すなわち、cを0.3から次の0.1まで動かしても、その間に他のケースが関係してこないので、判別結果(誤分類されるケース)は変わらないことになる。

③ C が 0.1 の場合 (表2の③の行)

Cの値を0.1に設定すると、判別超平面は支出=2 * 勉強時間-3になる。図1の①と②と同じ○で示し

た3点 (3,5), (6,5), (2,5) を回転の中心とした一点鎖線が、判別超平面とサポートベクタを表す。また、マージンは3.58と②より大きくなる。

合格群のサポートベクタ (6,5) に新たに (5,3) が加わり、不合格群のサポートベクタ (2,5) に (3,7) が加わり、2点で固定される。

①と③は、複数の学生にサポートされ、固定されている。一方、②のサポートベクタは学生1人でサポートされている。すなわち、Cの値を0.3から0.1まで連続的に減少させると、両方のサポートベクタは、(6,5)と(2,5)の各1点を回転の中心として、①の実線から③の一点鎖線まで連続的に反時計回りに回転する。それに伴い、マージンは2.82から3.58へ連続的に増加する。

④ C が 0.01 の場合 (表2の④の行)

Cの値を0.01に設定すると、判別超平面は支出=勉強時間+2になる。傾き45度の3本の破線が、判別超平面とサポートベクタを表す。マージンは7.07と①②③より大きくなる。

合格群のサポートベクタは (5,2) と (6,3) と (7,4) の3点で、不合格群は (1,8) と (3,10) の2点で固定されている。

⑤ C が 0.0074 の場合 (表2の⑤の行)

次に、Cを例えれば0.0074にすると、判別超平面は支出=0.99 * 勉強時間+2.05になる。マージンは7.10と①②③④より大きくなる。合格群のサポートベクタは (5,2) の1点で、不合格群は (3,10) の1点でのみ拘束されている。④とほぼ重なるので、図にはこれらを示していない。

⑥ C を 0 に固定した場合 (表2の⑥の行)

C=0にすると目的関数は $\|b\|^2/2$ の最小化になる。サポートベクタの制約が無ければ、判別係数は $b=(0,0)$ になる。このため、表2の⑤で選ばれた (5,2) と (3,10) をサポートベクタに固定してモデルを解くと、⑤と同じ結果になる。すなわち、⑥はサポートベクタを考えた場合、目的関数を最小化する限りになる。しかし、図1から分かるとおり、マージンが最大のSVMは合格群では (12,4)、不合格群では (3,10) で、マージンは10.817になることは明らかである。判別関数として $f(x)=0.154 * \text{勉強時間} - 0.103 * \text{支出} - 0.436$ 、最適な超平面は支出=1.5 * 勉強時間-4.25になる。Cを場当たり的に小さな値(0.0074)にして⑥を計算しても、これを求めることは難しかった。

4.2 改定 LP-OLDF と改定 IP-OLDF の結果

表2には、改定 LP-OLDF と改定 IP-OLDF の結果が示してある。改定 LP-OLDF の結果は、SVM の C が 0.3 以上と同じである。SVM はいってみれば $\|b\|^2$ と $\sum e_i$ の2目的最適化である。C を大きくしていくことは結局 $\|b\|^2$ の影響を無視し改定 LP-OLDF と等しくなる。

改定 IP-OLDF の結果を見ると、マージンは限りなく 0 に近く、SVM でいうところの汎化性すなわちオーバーエスティメイトが疑われる。誤分類数は 5 個と改定 LP-OLDF より 1 件少ない。しかし、先に述べたように 2 万件乱数データでは、汎化性は悪くない。

4.3 C の問題点

多目的最適化の欠点は、恣意的な C の値によって、結果が異なってくることである。一体、①から⑥のいずれを選ぶのが正しいか判断できない。

さらに SVM の C は、今回 6 つの異なった状態で説明できたが、データ数が多くなるほど、この状態は増えてくる問題もある。

4.4 C の役割をシミュレートする

ここで c の役割をシミュレーションする。改定 LP-OLDF と同じ①は、支出=5 の 3 つの○の 3 点を回転の中心とし、③まで回転する。

しかし、③から④への道筋はまだ明らかでないが、③の後は点 (5,3), (3,7) を回転の中心に選び、その後合格群と不合格群の一方だけがあるケースに固定され、もう一方はケースに固定されないで④まで変化するように思われる。今後、この解明を行う必要がある。

5. まとめ

5.1 ペナルティ C の検証

SVM では、ペナルティ C の値によって、得られるサポートベクタがデータ空間でダイナミックに異なってきて、どれを選べばよいかの問題があった。これは、多目的最適化に共通する問題点である。

あるいは、数多くの代替案の中から C をチューニングして汎化性の良いものに決定するというのであれば、他の手法に比べて優位に立つのは当然である。

今後 SVM 研究では、C の客観的な決定法と外部標本による汎化性の検証が望まれる。

一つの提案として、今回分かったように、改定 LP-OLDF は C が無限大からかなり小さな実数までの範囲で変更したソフトマージン最大化の SVM と一致することが分かった。また、C を正の小さな値に減

少させていく、サポートベクタがなくなる寸前の C 値の分析結果を求める。そして、ここで選ばれたサポートベクタに関するケースを固定して、C=0 にしてこの変更モデルを再計算する。このとき、モデルに解があれば、マージンがほぼ最大になる限界を示すと考えられる。

すなわち、SVM における C の決定は、改定 LP-OLDF と C=0 でサポートベクタのある 2 つのモデルの上限と下限を明らかにし、その範囲の中で C をどう選ぶかの議論が必要であろう。

5.2 今後の課題

統計の知恵に「けちの原理」がある。予測モデルは、できるだけ少ない説明変数を用い、多くの内部標本でモデル構築しなければ、汎化能力に劣る予測モデルが導かれるという結論である[1]。本研究では、統計研究家の多くが抱いている SVM への不信の一つを検証した。

ただし、マージンを最大化すれば、カーネルトリックのような高次元で判別を行っても汎化能力が優れているという SVM の最大の売りは、統計のこれまでの知識と背反するが、今後の検討課題としたい。

SVM はマージン概念を最大化ということで今日大きな研究勢力になっているが、今後マージン概念を取り入れた改定 IP-OLDF と SVM をスイス銀行紙幣データのような実データを内部標本とし、それと同じ分散共分散行列をもつ乱数を外部標本として比較研究を行いたい。すなわち、改定 IP-OLDF の MMN 基準と SVM のマージン最大化基準の比較が今後の課題になる。

参考文献

- [1] Miyake, A., Shinmura, S.: Error rate of linear discriminant function. F. T. de Dombal & F. Gremy, editors, North-Holland Publishing Company, 435-445 (1976).
- [2] Liitschwager, J. M., Wang, C.: Integer programming solution of a classification problem. Management Science, 24/14, 1515-1525 (1978).
- [3] 三宅章彦、新村秀一：最適線形判別関数のアルゴリズムとその応用. 医用電子と生体工学, 18/1, 15-20 (1980).
- [4] Glover, F.: Improve linear programming models for discriminant analysis. Decision Sciences, 2, 771-785 (1990).
- [5] Stam, A.: Nontraditional approaches to statistical classification: Some perspectives on L_p-norm

- methods. Annals of Operations Research, 74, 1-36 (1997).
- [6] 新村秀一：数理計画法を用いた最適線形判別関数. 計算機統計学, 11/2, 89-101 (1998).
- [7] 石田健一郎, 上田修功, 前田英作, 村瀬洋：パターン認識. オーム社 (1998).
- [8] 新村秀一, 垂水共之：2変量正規乱数データによるIP-OLDFの評価. 計算機統計学, 12/2, 107-123 (1999).
- [9] Shinmura, S.: A new algorithm of the linear discriminant function using integer programming. New Trends in Probability and Statistics 5, 133-142 (2000).
- [10] 新村秀一：数理計画法を用いた最適線形判別関数(1), オペレーションズ・リサーチ, 47/1, 38-45 (2002).
- [11] 新村秀一：数理計画法を用いた最適線形判別関数(2), オペレーションズ・リサーチ, 47/2, 109-113 (2002).
- [12] 新村秀一：数理計画法を用いた最適線形判別関数(3), オペレーションズ・リサーチ, 47/3, 172-185 (2002).
- [13] 新村秀一, 数理計画法を用いた最適線形判別関数(4), オペレーションズ・リサーチ, 47/4, 244-250 (2002).
- [14] 新村秀一：数理計画法を用いた最適線形判別関数(5), オペレーションズ・リサーチ, 47/5, 315-321 (2002).
- [15] 新村秀一：JMP 活用統計学とておき勉強法. 講談社 (2004).
- [16] 新村秀一：整数計画法による判別分析の新世紀—1000スイスフラン偽札紙幣の分析, 日本オペレーションズ・リサーチ学会 2005年春季研究発表会, 118-119 (2005).
- [17] 新村秀一：従来の整数計画法による判別モデル研究に対する批判, 日本オペレーションズ・リサーチ学会 2005年春季研究発表会, 120-121 (2005).
- [18] 新村秀一：IP-OLDFによる線形判別関数の新しいモデル選択法の提案, 日本計算機統計学会, (2005). 投稿中.